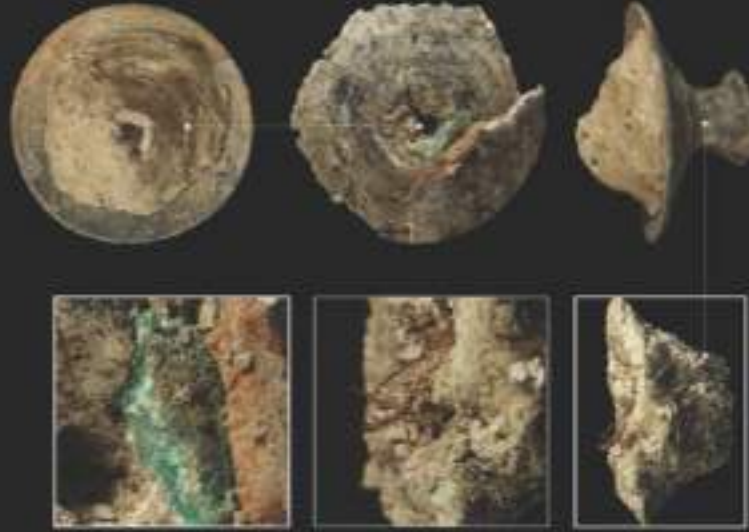


1 di 1



مجموعه مقالات شهر سوخته ۲
پژوهش سید منصور سیدجادی - از کوه اسکلان



شهر سوخته - ابراهیم ۱۹۴۰ - سید منصور سیدجادی

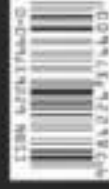


سازمان اسناد و کتابخانه ملی جمهوری اسلامی ایران

SCAVI E RICERCHE A
SHAHR-I SOKHTA

شهر سوخته ۲

A CURA DI
ENRICO ASCALONE
SEYYED MANSUR SEYYED SAJJADI



SCAVI E RICERCHE A
SHAHR-I SOKHTA

A CURA DI
ENRICO ASCALONE
SEYYED MANSUR SEYYED SAJJADI

Gli oggetti dell'Area 33 a Shahr-i Sokhta

Enrico Ascalone

Georg-August-Universität Göttingen, Seminar für Ur- und Frühgeschichte

اشیاء کارگاه شماره ۳۳

اتریکو اسکالونه

اشیاء و مواد فرهنگی بدست آمده از کارگاه شماره ۳۳ به خوبی داخل گاهنگاری تشخیص داده شده این کارگاه، که از طریق بررسی مجموعه سفالی روشن شده است می‌باشد. تمام این مواد از داخل لایه‌های باستانی کانتکست‌ها بدست آمده‌اند که اجازه می‌دهد که بخش‌های کاربردی جداگانه ساختمان شماره ۳۳ از یکدیگر تفکیک شوند. اشیاء مختلفی از جمله مهره‌های گوناگون از مواد متفاوتی که بیشتر آن‌ها سنگ‌های نیمه قیمتی هستند پیدا شده است. سنگ‌هایی چون عقیق، فیروزه، سنگ صابون، کالسیت، مرمر و سنگ لاجورد. یک مهر مستطیل مسطح با نقوش هندسی که در میان نقوش مهرهای شهرسوخته که توسط گروه باستان‌شناسی ایرانی در سال‌های ۱۳۷۶ تا ۱۳۹۵ پیدا شده بسیار رایج بوده نیز در میان این اشیاء وجود دارد. قطعات ظروف مرمری در جایی که تصور می‌رود بخش آشپزخانه ساختمان بوده است نیز از سایر اشیاء پیدا شده در این حفاری‌ها می‌باشد.

The objects from Area 33 are well inserted in the chronological framework identified for Building 33, according to the pottery assemblages and their comparisons. All the objects come from well stratified archaeological contexts allowing us to suggest an inner functional division in Building 33. Different kind of objects were found, in particular beads in different material, mainly semi-precious stones such as carnelian, turquoise, steatite, calcite, alabaster and lapis lazuli. A seal, rectangular in shape, with geometric decoration on their surface, has been found; a typology widely known in the Shahr-i Sokhta seal corpora collected during the earlier Iranian excavations carried out between 1997 and 2015. The presence of alabaster vessels is wide, mainly coming from the kitchen area in close relation with benches and working places for food preparation and cooking activities.

Gli oggetti rinvenuti durante la campagna di scavo svolta a Shahr-i Sokhta a novembre-dicembre 2017 sono complessivamente 149, di cui 5 appartenenti alla più arcaica fase occupazionale dell'edificio rinvenuti al di sotto dei piani pavimentali più superficiali in L.15, L.16 e L.17¹. Sebbene non possa essere questa la sede di analisi e studio dei singoli manufatti², solo semplici e preliminari considerazioni si possono avanzare per provare a presentare sinteticamente l'intero *corpus* di oggetti rinvenuto³.

Affianco ai frammenti di vaso in alabastro (si veda in questo volume il contributo di Silvia Festuccia), numerosi frammenti di selce lavorata (lame, punte di freccia, scarti di lavorazione e nuclei) sono stati rinvenuti per complessivi 24 oggetti (SiS.17.33.1-4, 11, 13, 18-19, 27, 32, 43, 49, 53-54, 56, 61, 63, 72-73, 83-85, 90, 114), quasi tutti rintracciati presso il settore settentrionale del *Building 33* destinato alla prima trasformazione del cibo e alla sua successiva cottura (assieme a numerosi frammenti in bronzo purtroppo talmente danneggiati, in alcuni casi polverizzati, da non permettere una loro precisa

1. Sulla loro distribuzione e contestualizzazione si veda il contributo dell'autore in questo stesso volume.

2. Affianco agli studi paleobotanici, archeozoologici, antropologici e topografico-ambientali, studi monografici su singole classi di oggetti sono stati assegnati ad alcuni componenti della missione: i punteruoli in osso ad Alberto Potenza, il vasellame in alabastro a Silvia Festuccia, sigilli e pesi da bilancia all'autore. Voglio profondamente ringraziare S.M.S. Sajjadi che ha supportato e reso disponibile lo studio del materiale raccolto dalla missione da lui diretta sin dal 1997.

3. La denominazione scelta per identificare gli oggetti scavati segue un ordine complessivo e consecutivo in cui si annovera il sito (SiS), l'anno del rinvenimento (17), l'area di provenienza (33) e il suo numero progressivo di scavo.

identificazione, se ci esclude il punteruolo SiS.17.33.92); particolare significato hanno le perle rinvenute in contesti archeologici diversi ma con una tipologia perlopiù omogenea da cercare principalmente in due principali morfologie, una perfettamente cilindrica per gli esemplari in steatite (SiS.17.33.50), alabastro (SiS.17.33.33, 66, 124), quarzo (SiS.17.33.70, 144), corniola (SiS.17.33.41) e turchese (SiS.17.33.30, 80) e una ovoidale conosciuta in SiS.17.33.46 (lapislazzuli) e SiS.17.33.123 (turchese). Mancano, allo stato attuale delle nostre ricerche, alcune tipologie riconosciute negli scavi passati, da cercarsi principalmente nella morfologia discoidale, "a losanga" e in quella lenticolare (cfr. con Tosi 1969a: 373-375; Sajjadi 2003a: 79-80).

Affianco ai pesi da bilancia rinvenuti (SiS.17.33.58, 64 e 127, tutti e tre sfendonoidi, due con base), che saranno trattati a parte (anche in Ascalone 2019), un sigillo a stampo in clorite/steatite trova agio in una classe tipologica ben conosciuta a Shahr-i Sokhta, in tutta la valle del fiume Hirmand e presso le oasi della Margiana (Ascalone 2018a). Il sigillo (SiS.17.33.24), quadrangolare ma non perfettamente quadrato, le cui misure sono di 3,7 x 4,0 cm per uno spessore di 0,6 cm, fu rinvenuto presso L.5, in un'area prospiciente il settore delle cucine (L.33, L.36, 37, L.43) e confinante con L.34 e L.35, due vani di assai modeste dimensioni che per il loro sviluppo strutturale, in assenza di materiale a causa della loro parziale indagine (i due vani scendono infatti sotto la parete di scavo), potrebbero essere pensati come aree atte alla conservazione delle derrate poi usate nei vani limitrofi localizzati subito ad est del complesso.

La morfologia del sigillo e il suo materiale di composizione segue una tipologia ampiamente attestata a Shahr-i Sokhta, dove sigilli con decorazioni geometriche, lineari, a losanghe, circolari, quadrate e "a croce", perlopiù in clorite con due fori sul retro, sono già conosciuti (Piperno - Salvatori 2007: 209; Tosi 1968a: fig. 95; 1969a: fig. 264, 266-273; Sajjadi 2003a: 78, fig. 36; 2004a: 4; 2009: 240); medesima tipologia è stata identificata a Mundigak in quattro sigilli provenienti rispettivamente dal III.5, III.6 e IV periodo del sito (Casal 1961: 256-257, tav. 45: 3, 5, 7), in Margiana (a Dashly 1, Togolok, Gonur South, Taip 1, si veda anche Sarianidi 1986: nn. 1675.1-2; 1676.1-2, 1729.1 e Salvatori 2000: 103, fig. 7.7.1)⁴, Shahdad (Salvatori - Vidale 1982; Hakemi 1997) e Sibri nel Baluchistan

4. Per la bibliografia di riferimento si veda Salvatori 2000: 132.

(Jarrige 1985: fig. 5). Il sigillo di Shahr-i Sokhta sembra essere una produzione locale, la cui matrice deve riconoscersi lungo la valle dell'Hirmand, forse nella stessa Margiana dove tuttavia i sigilli in steatite di tipo quadrangolare, spesso bifacciali, mostrano avere tratti di più articolato sviluppo iconografico con figure animali ovvero mitologiche rappresentate sulla propria superficie. Questo gusto verso l'aniconicità, l'assenza di un impianto mitologico supportato da descrizioni figurative e narrative, lo stile geometrico, lineare, che s'impianta su una base quadrangolare, incisa nella steatite in cui due fori passanti sono da individuare sul retro dell'esemplare, deve considerarsi un tratto della cosiddetta civiltà dell'Hirmand, una peculiarità culturale che attraversa tutte quelle regioni solcate dal fiume Hirmand che hanno in Shahr-i Sokhta e Mundigak i due estremi poli culturali e probabilmente politici di quest'ampia porzione regionale (*contra* la coeva produzione conosciuta a Konar Sandal; Ascalone 2011: 331-360; 2012). Difficile fare considerazioni storiche più approfondite sull'utilizzo dell'aniconismo nella tradizione glittica dell'Hirmand, così come appaia decisamente prematuro creare una relazione tra la glittica geometrica di Shahr-i Sokhta (comprese le sue tipologie) e le classi dominanti del centro, sebbene sembri evidente che un nesso tra i gruppi umani presenti a Shahr-i Sokhta e le espressioni geometriche (assai stereotipate e ripetitive) dei suddetti sigilli possa esserci stato.

A confermare un coerente orizzonte culturale nella glittica di tutto il corso del fiume Hirmand vi è un sigillo rinvenuto nella stessa Mundigak, identico per morfologia, fattura e decorazione che, da una parte, aiuta a ipotizzare la presenza di elementi di riempimento o incrostazione lungo i solchi incisi sulla superficie del nostro stesso sigillo, dall'altra permette di trovare un esemplare del tutto identico a quello scavato presso il *Building 33* (Casal 1961: 257, tav. 45: 9). Il sigillo di Mundigak proviene da non meglio identificati strati appartenenti al IV periodo del sito che cronologicamente s'inserisce con agio nelle fasi cronologiche accertate per il *Building 33* da datare alla Fase 4, inizio Fase 3 del III periodo a Shahr-i Sokhta.

Identico esemplare è stato individuato nella Tomba 311 di Shahr-i Sokhta dove una sepoltura multipla caratterizzata da almeno 2 utilizzi in fasi diverse è stata scavata (Piperno - Salvatori 2007: 205-209). Il sigillo in lapislazzuli, dalle dimensioni più ridotte

(1,6 x 1,45 x 0,4 cm), presenta medesima morfologia, con fori per sospensione, e una tipologia decorativa assai prossima al nostro esemplare; il sigillo è stato rinvenuto in associazione archeologica con ceramica policroma del II periodo di Shahr-i Sokhta e con bicchieri conici della Fase 5 del II e un paio di esemplari appartenenti alla Fase 4 del III periodo. Sulla base dei contesti di strato e le associazioni archeologiche del nostro esemplare sembra più probabile che anche il sigillo della Tomba 311 sia da mettere in relazione con le evoluzioni più allungate delle cosiddette "*Pear-shaped Beakers*", forme conosciute solo a partire dalla Fase 4 del sito, da collocare immediatamente dopo la metà del III millennio a.C. (vedi anche Vidale 1984). Allo stesso modo, il nostro sigillo è stato rinvenuto in associazione archeologica con un bicchiere ad alto collo che per tipologia complessiva va indubbiamente ascritto alla quarta fase dell'insediamento (SiS.17.33.4/4), quando un forte stacco tipologico avviene con la precedente Fase 5 da ascrivere al II periodo del sito.

In sintesi sulla base dei confronti identificati e delle associazioni archeologiche ricostruite il sigillo SiS.17.33.24 deve essere considerato una produzione autoctona, fortemente radicata nel tessuto culturale di Shahr-i Sokhta e di tutto l'orizzonte glittico della valle dell'Hirmand, con buona approssimazione da datare tra il 2500 e il 2400 a.C. (Shahr-i Sokhta III.4) ed utilizzato fino alla fine dell'abitazione del *Building 33* approssimativamente attorno al 2350/2300 a.C.

Se si escludono gli scarti di lavorazione, di cui numerosi frammenti di corniola, i pestelli (SiS.17.33.28, 38, 67, 125, 126, 145, 147-148), pesi da telaio (SiS.17.33.23, 42), frammenti di macinelli (SiS.17.33.76), liscioi (SiS.17.33.93, 113, 119, 146) e gettoni contabili (SiS.17.33.25, 60, 65, 69, 74-75, 107, 110-111, 141-143) restituiscono un quadro piuttosto coerente sulle attività svolte all'interno dell'edificio che sembrano piuttosto mirate a coprire ogni singola azione e necessità imposta dalla quotidianità, quasi a confermare una totale indipendenza del *Building 33* rispetto al tessuto urbanistico circostante. L'intero edificio architettonico sembra mostrare, infatti, una forte differenziazione settoriale (si veda il contributo dell'autore sulle analisi architettoniche e funzionali dell'edificio) comportandosi come un complesso articolato e strutturato per raccogliere e organizzare, in piena autonomia, le principali attività tipiche di un complesso residenziale di chiara centralità.

Catalogo Oggetti

	SIS.17.33.1 (Fig. 1)	SIS.17.33.2 (Fig. 1)	SIS.17.33.3 (Fig. 1)
Data	04.11.2017	04.11.2017	04.11.2017
Oggetto	scarto di lavorazione di una lama di selce	lama	lama
Materiale	selce	selce	selce
Condizioni	frammentarie	frammentarie	frammentarie
Lunghezza	2,6 cm	2,5 cm	2,8 cm
Larghezza	1,7 cm	1,4 cm	1,5 cm
Spessore	0,9 cm	0,4 cm	0,4 cm
Area	33	33	33
Quadrato	OOH+OOM	OOH+OOM	OOH+OOM
US/Locus	superficie	superficie	superficie
Quota	0,05 m	0,05 m	0,05 m
Fase	2	2	2
Periodo del sito	III (Fase 4-3)	III (Fase 4-3)	III (Fase 4-3)
Cronologia	2450/2400-2350/2300 a.C.	2450/2400-2350/2300 a.C.	2450/2400-2350/2300 a.C.

	SIS.17.33.4 (Fig. 1)	SIS.17.33.5 (Fig. 2)	SIS.17.33.6 (Fig. 2)
Data	04.11.2017	04.11.2017	04.11.2017
Oggetto	punta di freccia	oggetto lavorato (scarto?)	oggetto lavorato
Materiale	selce	corniola	corniola
Condizioni	ottime	frammentarie	frammentarie
Lunghezza	3,7 cm	1,5 cm	1,0 cm
Larghezza	1,6 cm	1,0 cm	1,0 cm
Spessore	0,4 cm	1,1 cm	0,6 cm
Area	33	33	33
Quadrato	OOH+OOM	OOH+OOM	OOH+OOM
US/Locus	superficie	superficie	superficie
Quota	0,05 m	0,05 m	0,05 m
Fase	2	2	2
Periodo del sito	III (Fase 4-3)	III (Fase 4-3)	III (Fase 4-3)
Cronologia	2450/2400-2350/2300 a.C.	2450/2400-2350/2300a.C.	2450/2400-2350/2300 a.C.

	SIS.17.33.7 (fig. 2)	SIS.17.33.8 (Fig. 2)	SIS.17.33.9 (Fig. 2)
Data	04.11.2017	04.11.2017	04.11.2017
Oggetto	oggetto lavorato (scarto?)	oggetto lavorato (scarto?)	oggetto lavorato (scarto?)
Materiale	corniola	corniola	corniola
Condizioni	frammentarie	frammentarie	frammentarie
Lunghezza	1,3 cm	1,3 cm	1,4 cm
Larghezza	1,0 cm	1,1 cm	1,2 cm
Spessore	1,0 cm	0,9 cm	0,4 cm
Area	33	33	33
Quadrato	OOH+OOM	OOH+OOM	OOH+OOM
US/Locus	superficie	superficie	superficie
Quota	0,05 m	0,05 m	0,05 m
Fase	2	2	2
Periodo del sito	III (Fase 4-3)	III (Fase 4-3)	III (Fase 4-3)
Cronologia	2450/2400-2350/2300 a.C.	2450/2400-2350/2300 a.C.	2450/2400-2350/2300 a.C.

	SIS.17.33.10 (Fig. 2)	SIS.17.33.12 (Fig. 4)	SIS.17.33.12 (Fig. 4)
Data	04.11.2017	04.11.2017	04.11.2017
Oggetto	oggetto lavorato (scarto?)	lama	indeterminato oggetto sferico
Materiale	corniola	selce	bronzo
Condizioni	frammentarie	buone	lievemente eroso
Lunghezza	0,9 cm	3,3 cm	Diam.: 1,6 cm
Larghezza	0,8 cm	2,2 cm	-
Spessore	0,3 cm	0,5 cm	-
Area	33	33	33
Quadrato	OOH+OOM	OOH+OOM	OOH2+OOG4
US/Locus	superficie	superficie	L4
Quota	0,05 m	0,05 m	0,10 cm
Fase	2	2	2
Periodo del sito	III (Fase 4-3)	III (Fase 4-3)	III (Fase 4-3)
Cronologia	2450/2400-2350/2300 a.C.	2450/2400-2350/2300 a.C.	2450/2400-2350/2300 a.C.

	SIS.17.33.10 (Fig. 2)	SIS.17.33.12 (Fig. 4)	SIS.17.33.12 (Fig. 4)
Data	04.11.2017	04.11.2017	04.11.2017
Oggetto	oggetto lavorato (scarto?)	lama	indeterminato oggetto sferico
Materiale	corniola	selce	bronzo
Condizioni	frammentarie	buone	lievemente eroso
Lunghezza	0,9 cm	3,3 cm	Diam.: 1,6 cm
Larghezza	0,8 cm	2,2 cm	-
Spessore	0,3 cm	0,5 cm	-
Area	33	33	33
Quadrato	OOH+OOM	OOH+OOM	OOH2+OOG4
US/Locus	superficie	superficie	L.4
Quota	0,05 m	0,05 m	0,10 cm
Fase	2	2	2
Periodo del sito	III (Fase 4-3)	III (Fase 4-3)	III (Fase 4-3)
Cronologia	2450/2400-2350/2300 a.C.	2450/2400-2350/2300 a.C.	2450/2400-2350/2300 a.C.

	SIS.17.33.14 (Fig. 5)	SIS.17.33.14 (Fig. 6)	SIS.17.33.15 (Fig. 7)
Data	04.11.2017	04.11.2017	05.11.2017
Oggetto	nucleo	oggetto lavorato (scarto?)	oggetto lavorato
Materiale	selce	corniola	lapislazzuli
Condizioni	frammentarie	frammentarie	frammentarie
Lunghezza	2,1 cm	1,3 cm	1,0 cm
Larghezza	1,5 cm	1,4 cm	0,4 cm
Spessore	0,3 cm	0,8 cm	0,2 cm
Area	33	33	33
Quadrato	OOH2+OOG4	OOM	OOM
US/Locus	L.4	superficie	superficie
Quota	0,10 m	0,05 m	0,05 m
Fase	2	2	2
Periodo del sito	III (Fase 4-3)	III (Fase 4-3)	III (Fase 4-3)
Cronologia	2450/2400-2350/2300 a.C.	2450/2400-2350/2300 a.C.	2450/2400-2350/2300 a.C.

	SIS.17.33.16	SIS.17.33.17	SIS.17.33.18 (Fig. 8)
Data	05.11.2017	05.11.2017	05.11.2017
Oggetto	frammento di vaso	orlo di vaso	lama
Materiale	alabastro	alabastro	selce
Condizioni	frammentarie	frammentarie	buone

Lunghezza	2,2 cm	3,7 cm	2,9 cm
Larghezza	1,1 cm	4,2 cm	1,5 cm
Spessore	0,6 cm	0,8 cm	1,0 cm
Area	33	33	33
Quadrato	OOM	OOM	OOH2+OOG4
US/Locus	superficie	superficie	L.4
Quota	0,05 m	0,05 m	0,05 m
Fase	2	2	2
Periodo del sito	III (Fase 4-3)	III (Fase 4-3)	III (Fase 4-3)
Cronologia	2450/2400-2350/2300 a.C.	2450/2400-2350/2300 a.C.	2450/2400-2350/2300 a.C.

	SIS.17.33.19 (Fig. 9)	SIS.17.33.20 (Fig. 10)	SIS.17.33.21
Data	05.11.2017	05.11.2017	05.11.2017
Oggetto	frammento di oggetto	lisciatolo	oggetto indeterminato
Materiale	selce	steatite	bronzo
Condizioni	frammentarie	ottime	fortemente frammentario
Lunghezza	2,3 cm	9,9 cm	3,1 cm
Larghezza	1,5 cm	1,6 cm	0,4 cm
Spessore	0,4 cm	1,0 cm	
Area	33	33	33
Quadrato	OOH2+OOG4	OOH2+OOG4	OOH2+OOG4
US/Locus	L.4	L.4	L.4
Quota	0,10 m	0,17 m	0,20 m
Fase	2	2	2
Periodo del sito	III (Fase 4-3)	III (Fase 4-3)	III (Fase 4-3)
Cronologia	2450/2400-2350/2300 a.C.	2450/2400-2350/2300 a.C.	2450/2400-2350/2300

	SIS.17.33.22	SIS.17.33.23 (Fig. 11)	SIS.17.33.24 (Figg. 12-13)
Data	05.11.2017	05.11.2017	06.11.2017
Oggetto	oggetto indeterminato	peso da telaio	sigillo a stampo
Materiale	bronzo	ceramica	steatite
Condizioni	fortemente frammentario, al limite della polverizzazione	conservato per metà	ottime
Lunghezza		<i>Diam. 1:</i> 3,4 cm	3,7 cm
Larghezza		<i>Diam. 2:</i> 1,7	4,0 cm
Spessore		1,0 cm	0,6 cm
Area	33	33	33

Quadrato	OOH2+OOG4	OOH2+OOG4	OOH4
US/Locus	L.4	L.4	L.5
Quota	0,20 m	0,20 m	0,20 m
Fase	2	2	2
Periodo del sito	III (Fase 4-3)	III (Fase 4-3)	III (Fase 4-3)
Cronologia	2450/2400-2350/2300 a.C.	2450/2400-2350/2300 a.C.	2450/2400-2350/2300 a.C.
Descrizione			sigillo a stampo che utilizza un solo verso, con due fori per possibili applicazioni sul retro. Il sigillo reca decorazioni geometriche che s'impostano su uno schema di tipo incrociato di ampia diffusione nello stesso sito di Shahr-i Sokhta

	SIS.17.33.25 (Fig. 14)	SIS.17.33.26	SIS.17.33.27 (Fig. 15)
Data	06.11.2017	06.11.2017	06.11.2017
Oggetto	oggetto ovoidale piatto con tracce di lisciatura sulla propria superficie, forse dovute ad operazioni intenzionali di sfregamento	oggetto indeterminato	oggetto ovoidale piatto con evidenti tracce di lavorazione per sfregamento
Materiale	calcare	bronzo	selce
Condizioni	lievemente scheggiato	fortemente frammentario	buone
Lunghezza	2,5 cm	2,5 cm	4,9 cm
Larghezza	2,2 cm	2,0 cm	4,2 cm
Spessore	0,8 cm	1,0 cm	0,9 cm
Area	33	33	33
Quadrato	OOH2+OOG4	OOH2+OOG4	OOH2+OOM1
US/Locus	L.4	L.4	L.6
Quota	0,30 m	0,30 m	0,30 m
Fase	2	2	2
Periodo del sito	III (Fase 4-3)	III (Fase 4-3)	III (Fase 4-3)
Cronologia	2450/2400-2350/2300 a.C.	2450/2400-2350/2300 a.C.	2450/2400-2350/2300 a.C.

	SIS.17.33.28 (Fig. 16)	SIS.17.33.29	SIS.17.33.30 (Fig. 17)
Data	06.11.2017	06.11.2017	07.11.2017
Oggetto	pestello	oggetto indeterminato	due perle
Materiale	calcare	bronzo	turchese
Condizioni	lievemente scheggiato	fortemente frammentarie	ottime
Lunghezza	5,8 cm	3,0 cm	<i>Diam.</i> 1: 0,4 cm x 0,3 cm
Larghezza	5,0 cm	0,9 cm	<i>Diam.</i> 2: 0,3 cm x 0,2 cm
Spessore	3,7 cm	0,7 cm	-
Area	33	33	33
Quadrato	OOH2+OOM1	OOH2+OOM1	OOH2+OOM1
US/Locus	L.6	L.6	L.6
Quota	0,30 m	0,30 m	0,35 m
Fase	2	2	2
Periodo del sito	III (Fase 4-3)	III (Fase 4-3)	III (Fase 4-3)
Cronologia	2450/2400-2350/2300 a.C.	2450/2400-2350/2300 a.C.	2450/2400-2350/2300 a.C.

	SIS.17.33.31	SIS.17.33.32 (Fig. 18)	SIS.17.33.33
Data	07.11.2017	07.11.2017	07.11.2017
Oggetto	oggetto indeterminato	lama	vaso
Materiale	bronzo	selce	alabastro
Condizioni	fortemente frammentario	buone	frammentario
Lunghezza	3,0 cm	2,5 cm	4,1 cm
Larghezza	<i>Altezza:</i> 2,7 cm	2,0 cm	3,1 cm
Spessore	1,4 cm	0,6 cm	1,2 cm
Area	33	33	33
Quadrato	OOH2+OOM1	OOH2+OOM1	OOM3+OOM1
US/Locus	L.6	L.6	L.16
Quota	0,35 m	0,35 m	0,15 m
Fase	2	2	2
Periodo del sito	III (Fase 4-3)	III (Fase 4-3)	III (Fase 4-3)
Cronologia	2450/2400-2350/2300 a.C.	2450/2400-2350/2300 a.C.	2450/2400-2350/2300 a.C.

	SIS.17.33.34 (Fig. 19)	SIS.17.33.35	SIS.17.33.36 (Fig. 20)
Data	08.11.2017	10.11.2017	10.11.2017
Oggetto	liscioio	vaso	oggetto lavorato indeterminato (frammento di vaso?)
Materiale	calcare	alabastro	quarzo

Condizioni	mostra chiare tracce di abrasione da sfregamento sulla superficie	frammentario	frammentarie
Lunghezza	-	1,9 cm	2,1 cm
Larghezza	-	1,7 cm	1,0 cm
Spessore	-	0,5 cm	0,8 cm
Area	33	33	33
Quadrato	OOH2+OOM1	OOM1	OOM1
US/Locus	L.6	L.15	L.15
Quota	0,40 m	0,47 m	0,33 m
Fase	2	1	1
Periodo del sito	III (Fase 4-3)	III (Fase 5b/4)	III (Fase 5b/4)
Cronologia	2450/2400-2350/2300 a.C.	2500-2450/2400 a.C.	2500-2450/2400 a.C.

	SIS.17.33.37 (Fig. 21)	SIS.17.33.38 (Fig. 22)	SIS.17.33.39
Data	10.11.2017	10.11.2017	10.11.2017
Oggetto	lisciatoio	pestello	scoria
Materiale	calcare	breccia	bronzo
Condizioni	buone	buone con tracce di percussione sulla base	-
Lunghezza	10,5 cm	6,3 cm	2,5 cm
Larghezza	2,7 cm	4,3 cm	2,1 cm
Spessore	1,7 cm	3,4 cm	1,8 cm
Area	33	33	33
Quadrato	OOM1	OOM1	OOM3+OOM1
US/Locus	L.17	L.15	L.16
Quota	0,48 m	0,47 m	0,48 m
Fase	1	1	1
Periodo del sito	III (Fase 5b/4)	III (Fase 5b/4)	III (Fase 5b/4)
Cronologia	2500-2450/2400 a.C.	2500-2450/2400 a.C.	2500-2450/2400 a.C.

	SIS.17.33.40 (Fig. 23)	SIS.17.33.41 (Fig. 24)	SIS.17.33.42 (Fig. 25)
Data	11.11.2017	11.11.2017	12.11.2017
Oggetto	indeterminato oggetto sferico	perla cilindrica	peso da telaio
Materiale	calcare	coniola	argilla
Condizioni	mancante di piccole parti	frammentarie	conservato per metà

Lunghezza	<i>Diam.</i> : 1,1 cm	<i>Diam.</i> 1: 0,7 cm	<i>Diam.</i> 1: 5,1 cm
Larghezza	-	<i>Diam.</i> 2: 0,6 cm	<i>Diam.</i> 2: 2,2 cm
Spessore	-	<i>Altezza</i> : 0,7 cm	0,6 cm
Area	33	33	33
Quadrato	OOG4+OOL3	OOH2+OOG4	OOH2+OOG4
US/Locus	L.19	L.4	L.4
Quota	0,10 m	0,10 m	0,15 m
Fase	2	2	2
Periodo del sito	III (Fase 4-3)	III (Fase 4-3)	III (Fase 4-3)
Cronologia	2450/2400-2350/2300 a.C.	2450/2400-2350/2300 a.C.	2450/2400-2350/2300 a.C.

	SIS.17.33.43 (Fig. 26)	SIS.17.33.44	SIS.17.33.45
Data	12.11.2017	12.11.2017	12.11.2017
Oggetto	scarto di lavorazione	indeterminato	indeterminato
Materiale	selce	bronzo	calcare
Condizioni	frammentarie	fortemente frammentario	buone
Lunghezza	2,5 cm	2,2 cm	4,3 cm
Larghezza	2,5 cm	1,5 cm	3,5 cm
Spessore	0,7 cm	1,7 cm	1,7 cm
Area	33	33	33
Quadrato	OOH2+OOG4	OOH2+OOG4	OOG4+OOL3
US/Locus	L.4	L.4	L.19
Quota	0,15 m	0,35 m	0,15 m
Fase	2	2	2
Periodo del sito	III (Fase 4-3)	III (Fase 4-3)	III (Fase 4-3)
Cronologia	2450/2400-2350/2300 a.C.	2450/2400-2350/2300 a.C.	2450/2400-2350/2300 a.C.

	SIS.17.33.46 (Fig. 27)	SIS.17.33.47	SIS.17.33.48 (Fig. 28)
Data	13.11.2017	13.11.2017	13.11.2017
Oggetto	perla cilindrica lievemente rastremata presso le sue due estremità	vaso	lama
Materiale	lapislazzuli	alabastro	pietra
Condizioni	buone	frammentarie	frammentarie
Lunghezza	<i>Altezza</i> : 0,4 cm	5,8 cm	5,5 cm
Larghezza	<i>Diam.</i> : 0,3 cm	3,9 cm	4,0 cm
Spessore	-	1,5 cm	0,5 cm

Area	33	33	33
Quadrato	OOF+OOK	OOF+OOK	OOF+OOK
US/Locus	-	-	-
Quota	0,10 m	0,10 m	0,10 m
Fase	2	2	2
Periodo del sito	III (Fase 4-3)	III (Fase 4-3)	III (Fase 4-3)
Cronologia	2450/2400-2350/2300 a.C.	2450/2400-2350/2300 a.C.	2450/2400-2350/2300 a.C.

	SIS.17.33.49 (Fig. 29)	SIS.17.33.50 (Fig. 30)	SIS.17.33.51
Data	13.11.2017	13.11.2017	14.11.2017
Oggetto	scarto di lavorazione	perla cilindrica	vaso
Materiale	selce	stentite	alabastro
Condizioni	frammentarie	frammentarie	frammentarie
Lunghezza	2,4 cm	<i>Diam.</i> : 0,6 cm	2,7 cm
Larghezza	1,3 cm	<i>Altezza</i> : 1,0 cm	2,4 cm
Spessore	0,5 cm	-	1,2 cm
Area	33	33	33
Quadrato	OOF	OOF	OOF+OOG
US/Locus	-	-	-
Quota	0,10 m	0,10 m	0,10 m
Fase	2	2	2
Periodo del sito	III (Fase 4-3)	III (Fase 4-3)	III (Fase 4-3)
Cronologia	2450/2400-2350/2300 a.C.	2450/2400-2350/2300 a.C.	2450/2400-2350/2300 a.C.

	SIS.17.33.52	SIS.17.33.53	SIS.17.33.54
Data	14.11.2017	14.11.2017	04.11.2017
Oggetto	vaso	lama	nucleo di lavorazione
Materiale	alabastro	selce	selce
Condizioni	frammentarie	frammentarie	frammentarie
Lunghezza	1,7 cm	2,6 cm	3,4 cm
Larghezza	1,7 cm	1,6 cm	2,7 cm
Spessore	0,6 cm	1,6 cm	2,5 cm
Area	33	33	33
Quadrato	OOF+OOG	OOF+OOG	OOF+OOG
US/Locus			
Quota	0,10 m	0,10 m	0,10 m

Fase	2	2	2
Periodo del sito	III (Fase 4-3)	III (Fase 4-3)	III (Fase 4-3)
Cronologia	2450/2400-2350/2300 a.C.	2450/2400-2350/2300 a.C.	2450/2400-2350/2300 a.C.

	SIS.17.33.55	SIS.17.33.56 (Fig. 31)	SIS.17.33.57 (Fig. 32)
Data	14.11.2017	15.11.2017	15.11.2017
Oggetto	indeterminato	punta di freccia	indeterminato
Materiale	calcare	selce	calcare
Condizioni	fortemente frammentarie	ottime	frammentarie
Lunghezza		3,1 cm	6,5 cm
Larghezza		1,4 cm	3,6 cm
Spessore		0,5 cm	1,7 cm
Area	33	33	33
Quadrato		OOE+OOG	OOH2+OOG4
US/Locus	superficie		L.4
Quota		0,10 m	0,10 m
Fase		2	2
Periodo del sito		III (Fase 4-3)	III (Fase 4-3)
Cronologia		2450/2400-2350/2300 a.C.	2450/2400-2350/2300 a.C.

	SIS.17.33.58 (Fig. 33)	SIS.17.33.59	SIS.17.33.60
Data	15.11.2017	15.11.2017	16.11.2017
Oggetto	peso ovoidale	indeterminato	gettone
Materiale	pietra	pietra	calcare
Condizioni	buone	frammentarie	buone
Lunghezza	4,8 cm	3,1 cm	3,0 cm
Larghezza	2,0 cm	2,9 cm	3,0 cm
Spessore	1,9 cm	2,9 cm	0,5 cm
Area	33	33	33
Quadrato	OOG2+OOL1	OOK3	OOI+OON
US/Locus	L.20	L.26	L.36+L.43
Quota	0,10 m	0,10 m	0,10 m
Fase	2	2	2
Periodo del sito	III (Fase 4-3)	III (Fase 4-3)	III (Fase 4-3)
Cronologia	2450/2400-2350/2300 a.C.	2450/2400-2350/2300 a.C.	2450/2400-2350/2300 a.C.

	SIS.17.33.61 (Fig. 34)	SIS.17.33.62	SIS.17.33.63
Data	16.11.2017	16.11.2017	16.11.2017
Oggetto	punta di freccia	oggetto indeterminato	nucleo
Materiale	selce	bronzo	selce
Condizioni	buone	fortemente frammentarie	frammentarie
Lunghezza	2,8 cm	2,2 cm	5,0 cm
Larghezza	2,2 cm	1,5 cm	2,5 cm
Spessore	0,6 cm	1,0 cm	0,8 cm
Area	33	33	33
Quadrato	OOI+OON	OOI+OON	OOI+OON
US/Locus	L.36+L.43	L.36+L.43	L.36+L.43
Quota	0,10 m	0,10 m	0,10 m
Fase	2	2	2
Periodo del sito	III (Fase 4-3)	III (Fase 4-3)	III (Fase 4-3)
Cronologia	2450/2400-2350/2300 a.C.	2450/2400-2350/2300 a.C.	2450/2400-2350/2300 a.C.

	SIS.17.33.64 (Fig. 35)	SIS.17.33.65	SIS.17.33.66 (Fig. 36)
Data	16.11.2017	16.11.2017	18.11.2017
Oggetto	peso ovoidale con base	gettone	perla
Materiale	calcare	calcare	alabastro
Condizioni	Buone	buone	frammentaria, mancante la metà
Lunghezza	4,2 cm	3,0 cm	1,5 cm
Larghezza	1,5 cm	2,2 cm	<i>Diam.</i> : 0,6 cm
Spessore	3,1 cm	0,4 cm	
Area	33	33	33
Quadrato	OOI+OON	OOI+OON	OOI+OON
US/Locus	L.36+L.43	L.36+L.43	L.36+L.43
Quota	0,10 m	0,10 m	0,10 m
Fase	2	2	2
Periodo del sito	III (Fase 4-3)	III (Fase 4-3)	III (Fase 4-3)
Cronologia	2450/2400-2350/2300 a.C.	2450/2400-2350/2300 a.C.	2450/2400-2350/2300 a.C.

	SIS.17.33.67	SIS.17.33.68	SIS.17.33.69
Data	18.11.2017	18.11.2017	04.11.2017
Oggetto	pestello	indeterminato	gettone
Materiale	calcare	bronzo	pietra
Condizioni	buone	fortemente frammentarie	buone

Lunghezza	4,3 cm	7,9 cm	5,1 cm
Larghezza	3,2 cm	0,7 cm	4,0 cm
Spessore	3,1 cm	0,7 cm	0,5 cm
Area	33	33	33
Quadrato	OOI+OON	OOI+OON	OOI+OON
US/Locus	L.36+L.43	L.36+L.43	L.36+L.43
Quota	0,10 m	0,10 m	0,10 m
Fase	2	2	2
Periodo del sito	III (Fase 4-3)	III (Fase 4-3)	III (Fase 4-3)
Cronologia	2450/2400-2350/2300 a.C.	2450/2400-2350/2300 a.C.	2450/2400-2350/2300 a.C.

	SIS.17.33.70	SIS.17.33.71	SIS.17.33.72 (Fig. 37)
Data	04.11.2017	04.11.2017	19.11.2017
Oggetto	perla	indeterminato	lama
Materiale	quarzo	pietra	selce
Condizioni	buone	frammentarie	
Lunghezza	<i>Altezza:</i> 2,1 cm	3,4 cm	3,9 cm
Larghezza	<i>Diam.:</i> 0,6 cm	3,2 cm	1,6 cm
Spessore		1,9 cm	0,9 cm
Area	33	33	33
Quadrato	OOI+OON	OOI+OON	OOH4
US/Locus	L.36+L.43	L.36+L.43	L.37
Quota	0,10 m	0,10 m	0,20 m
Fase	2	2	2
Periodo del sito	III (Fase 4-3)	III (Fase 4-3)	III (Fase 4-3)
Cronologia	2450/2400-2350/2300 a.C.	2450/2400-2350/2300 a.C.	2450/2400-2350/2300 a.C.

	SIS.17.33.73	SIS.17.33.74 (Fig. 38)	SIS.17.33.75 (Fig. 39)
Data	19.11.2017	18.11.2017	19.11.2017
Oggetto	scarto di lavorazione	gettone	gettone
Materiale	selce	calcare	stearite
Condizioni		buone	buone
Lunghezza	3,4 cm	1,9 cm	3,1 cm
Larghezza	1,7 cm	1,9 cm	1,7 cm
Spessore	0,8 cm	<i>Altezza:</i> 1,2 cm	0,7 cm
Area	33	33	33
Quadrato	OOI1+OOM3	OOI1+OOM3	OOI1+OOM3

US/Locus	L.33	L.33	L.33
Quota	0,20 m	0,20 m	0,20 m
Fase	2	2	2
Periodo del sito	III (Fase 4-3)	III (Fase 4-3)	III (Fase 4-3)
Cronologia	2450/2400-2350/2300 a.C.	2450/2400-2350/2300 a.C.	2450/2400-2350/2300 a.C.

	SIS.17.33.76	SIS.17.33.77	SIS.17.33.78
Data	19.11.2017	19.11.2017	19.11.2017
Oggetto	macinello	indeterminato	indeterminato
Materiale	basalto	pietra	bronzo
Condizioni	frammentarie	fortemente frammentarie	frammentario
Lunghezza	6,9 cm	6,9 cm	1,8 cm
Larghezza	5,1 cm	4,9 cm	1,5 cm
Spessore	1,7 cm	2,5 cm	1,1 cm
Area	33	33	33
Quadrato	OOH4	OOH4	OOH4
US/Locus	L.37	L.7	L.5
Quota	0,20 m	0,30 m	0,30 m
Fase	2	2	2
Periodo del sito	III (Fase 4-3)	III (Fase 4-3)	III (Fase 4-3)
Cronologia	2450/2400-2350/2300 a.C.	2450/2400-2350/2300 a.C.	2450/2400-2350/2300 a.C.

	SIS.17.33.79	SIS.17.33.80	SIS.17.33.81
Data	19.11.2017	19.11.2017	20.11.2017
Oggetto	scoria	perla	indeterminato
Materiale		turchese	quarzo
Condizioni		buone	frammentario
Lunghezza	6,5 cm	<i>Diam.: 0,25/0,22 cm</i>	2,2 cm
Larghezza	5,8 cm		1,8 cm
Spessore	2,5 cm		0,6 cm
Area	33	33	33
Quadrato	OOI+OON	OOI2+OOH4	OOI2+OOH4
US/Locus	L.36+L.43	L.36+L.37	L.36+L.37
Quota	0,20 m	0,10 m	0,10 m
Fase	2	2	2
Periodo del sito	III (Fase 4-3)	III (Fase 4-3)	III (Fase 4-3)
Cronologia	2450/2400-2350/2300 a.C.	2450/2400-2350/2300 a.C.	2450/2400-2350/2300 a.C.

	SIS.17.33.82	SIS.17.33.83 (Fig. 41)	SIS.17.33.84 (Fig. 42)
Data	20.11.2017	20.11.2017	20.11.2017
Oggetto	intarsio	lama	lama
Materiale	pietra	selce	selce
Condizioni	buone	frammentarie	frammentarie
Lunghezza	2,3 cm	3,9 cm	1,7 cm
Larghezza	2,1 cm	1,6 cm	1,8 cm
Spessore	0,3 cm	0,8 cm	0,8 cm
Area	33	33	33
Quadrato	OOI2+OOH4	OOI2+OOH4	OOI2+OOH4
US/Locus	L.36+L.37	L.36+L.37	L.36+L.37
Quota	0,10 m	0,10 m	0,10 m
Fase	2	2	2
Periodo del sito	III (Fase 4-3)	III (Fase 4-3)	III (Fase 4-3)
Cronologia	2450/2400-2350/2300 a.C.	2450/2400-2350/2300 a.C.	2450/2400-2350/2300 a.C.

	SIS.17.33.85 (Fig. 43)	SIS.17.33.86	SIS.17.33.87 (Fig. 44)
Data	20.11.2017	20.11.2017	20.11.2017
Oggetto	nucleo o lama non finita	ansa	indeterminato
Materiale	selce	pietra	quarzo
Condizioni	frammentarie	frammentarie	frammentarie
Lunghezza	5,8 cm	3,9 cm	2,5 cm
Larghezza	4,2 cm	1,5 cm	2,1 cm
Spessore	1,8 cm	0,9 cm	0,7 cm
Area	33	33	33
Quadrato	OOI2+OOH4	OOI2+OOH4	OOI2+OOH4
US/Locus	L.36+L.37	L.36+L.37	L.36+L.37
Quota	0,10 m	0,10 m	0,10 m
Fase	2	2	2
Periodo del sito	III (Fase 4-3)	III (Fase 4-3)	III (Fase 4-3)
Cronologia	2450/2400-2350/2300 a.C.	2450/2400-2350/2300 a.C.	2450/2400-2350/2300 a.C.

	SIS.17.33.88	SIS.17.33.89	SIS.17.33.90 (Fig. 45)
Data	20.11.2017	20.11.2017	20.11.2017
Oggetto	vaso	orlo di vaso	lama
Materiale	alabastro	alabastro	selce
Condizioni	frammentarie	frammentarie	frammentarie

Lunghezza	1,6 cm	3,7 cm	2,7 cm
Larghezza	1,2 cm	2,9 cm	2,3 cm
Spessore	0,5 cm	0,6 cm	0,4 cm
Area	33	33	33
Quadrato	OOI2+OOH4	OOI2+OOH4	OOI2+OOH4
US/Locus	L.36+L.37	L.36+L.37	L.36+L.37
Quota	0,20 m	0,10 m	0,10 m
Fase	2	2	2
Periodo del sito	III (Fase 4-3)	III (Fase 4-3)	III (Fase 4-3)
Cronologia	2450/2400-2350/2300 a.C.	2450/2400-2350/2300 a.C.	2450/2400-2350/2300 a.C.

	SIS.17.33.91	SIS.17.33.92 (Fig. 46)	SIS.17.33.93 (Fig. 47)
Data	20.11.2017	20.11.2017	20.11.2017
Oggetto	orlo di vaso	punteruolo	liscintioio
Materiale	alabastro	bronzo	pietra
Condizioni	frammentarie	buone	buone
Lunghezza	2,7 cm	7,2 cm	6,4 cm
Larghezza	2,3 cm	4,8 cm	3,1 cm
Spessore	0,4 cm	0,7 cm	2,8 cm
Area	33	33	33
Quadrato	OOI2+OOH4	OOI2+OOH4	OOI2+OOH4
US/Locus	L.36+L.37	L.36+L.37	L.36+L.37
Quota	0,10 m	0,10 m	0,10 m
Fase	2	2	2
Periodo del sito	III (Fase 4-3)	III (Fase 4-3)	III (Fase 4-3)
Cronologia	2450/2400-2350/2300 a.C.	2450/2400-2350/2300 a.C.	2450/2400-2350/2300 a.C.

	SIS.17.33.94 (Fig. 48)	SIS.17.33.95	SIS.17.33.96
Data	20.11.2017	20.11.2017	20.11.2017
Oggetto	gettone sferico	orlo di vaso	vaso
Materiale	calcare	alabastro	alabastro
Condizioni	buone	frammentarie	frammentarie
Lunghezza	3,0 cm	7,2 cm	4,2 cm
Larghezza	2,3 cm	4,8 cm	3,4 cm
Spessore	2,2 cm	0,7 cm	0,7 cm
Area	33	33	33
Quadrato	OOI2+OOH4	OOI2+OOH4	OOI2+OOH4

US/Locus	L.36+L.37		
Quota	0,10 m	superficie	superficie
Fase	2	2	2
Periodo del sito	III (Fase 4-3)	III (Fase 4-3)	III (Fase 4-3)
Cronologia	2450/2400-2350/2300 a.C.	2450/2400-2350/2300 a.C.	2450/2400-2350/2300 a.C.

	SIS.17.33.97	SIS.17.33.98	SIS.17.33.99
Data	20.11.2017	20.11.2017	20.11.2017
Oggetto	base di vaso	orlo di vaso	vaso
Materiale	alabastro	alabastro	alabastro
Condizioni	frammentarie	frammentarie	frammentarie
Lunghezza	2,6 cm	3,2 cm	3,3 cm
Larghezza	2,2 cm	1,9 cm	2,3 cm
Spessore	0,8 cm	0,8 cm	1,2 cm
Area	33	33	33
Quadrato	OOI2+OOH4	OOI2+OOH4	OOI2+OOH4
US/Locus			
Quota	superficie	superficie	superficie
Fase	2	2	2
Periodo del sito	III (Fase 4-3)	III (Fase 4-3)	III (Fase 4-3)
Cronologia	2450/2400-2350/2300 a.C.	2450/2400-2350/2300 a.C.	2450/2400-2350/2300 a.C.

	SIS.17.33.100	SIS.17.33.101	SIS.17.33.102
Data	20.11.2017	20.11.2017	20.11.2017
Oggetto	vaso	vaso	vaso
Materiale	alabastro	alabastro	alabastro
Condizioni	frammentarie	frammentarie	frammentarie
Lunghezza	3,5 cm		2,7 cm
Larghezza	1,4 cm		1,4 cm
Spessore	1,3 cm		1,2 cm
Area	33	33	33
Quadrato	OOI2+OOH4	OOI2+OOH4	OOI2+OOH4
US/Locus			
Quota	superficie	superficie	superficie
Fase	2	2	2
Periodo del sito	III (Fase 4-3)	III (Fase 4-3)	III (Fase 4-3)
Cronologia	2450/2400-2350/2300 a.C.	2450/2400-2350/2300 a.C.	2450/2400-2350/2300 a.C.
Descrizione		attaccato a SIS.17.33.95	

	SIS.17.33.103	SIS.17.33.104	SIS.17.33.105
Data	21.11.2017	21.11.2017	21.11.2017
Oggetto	base di vaso	orlo di vaso	vaso
Materiale	alabastro	alabastro	alabastro
Condizioni	frammentarie	frammentarie	frammentarie
Lunghezza	Altezza: 1,9 cm		2,8 cm
Larghezza			2,5 cm
Spessore	0,3/0,4 cm		1,7 cm
Area	33	33	33
Quadrato	OOI2	OOI2	
US/Locus	L.36	L.36	
Quota	0,20 m	0,20 m	0,10 m
Fase	2	2	2
Periodo del sito	III (Fase 4-3)	III (Fase 4-3)	III (Fase 4-3)
Cronologia	2450/2400-2350/2300 a.C.	2450/2400-2350/2300 a.C.	2450/2400-2350/2300 a.C.

	SIS.17.33.106	SIS.17.33.107 (Fig. 49)	SIS.17.33.108
Data	21.11.2017	21.11.2017	04.11.2017
Oggetto	due oggetti indeterminati verosimilmente facenti parte dello stesso oggetto	gettone	indeterminato
Materiale	bronzo	pietra	bronzo
Condizioni	fortemente frammentarie	buone	frammentarie
Lunghezza	1) 1,1 cm; 2) 1,2 cm	3,0 cm	1,1 cm
Larghezza	1) 0,9 cm; 2) 0,8 cm	2,9 cm	0,8 cm
Spessore	1) 0,8 cm; 2) 0,6 cm	0,6 cm	0,6 cm
Area	33	33	33
Quadrato	OOI2	OOI2	OOI2
US/Locus	L.36		
Quota	0,20 m	0,10 m	0,15 cm
Fase	2	2	2
Periodo del sito	III (Fase 4-3)	III (Fase 4-3)	III (Fase 4-3)
Cronologia	2450/2400-2350/2300 a.C.	2450/2400-2350/2300 a.C.	2450/2400-2350/2300 a.C.

	SIS.17.33.109	SIS.17.33.110	SIS.17.33.111 (Fig. 50)
Data	21.11.2017	22.11.2017	22.11.2017
Oggetto	indeterminato	gettone	gettone

Materiale	bronzo	breccia	calcere
Condizioni	fortemente frammentarie	buone	buone
Lunghezza	1,0 cm	1,3 cm	2,9 cm
Larghezza		1,1 cm	2,1 cm
Spessore	0,6 cm	1,0 cm	0,9 cm
Area	33	33	33
Quadrato	O012	O0N1	O0H4
US/Locus	L.36	L.43	L.5
Quota	0,20 m	0,25 m	0,25 m
Fase	2	2	2
Periodo del sito	III (Fase 4-3)	III (Fase 4-3)	III (Fase 4-3)
Cronologia	2450/2400-2350/2300 a.C	2450/2400-2350/2300 a.C.	2450/2400-2350/2300 a.C.

	SIS.17.33.112	SIS.17.33.113	SIS.17.33.114 (Fig. 51)
Data	22.11.2017	22.11.2017	22.11.2017
Oggetto	indeterminato	liscioio	lama
Materiale	pietra	pietra	selce
Condizioni		frammentarie	buone
Lunghezza	3,6 cm	2,5 cm	3,6 cm
Larghezza	3,3 cm	1,8 cm	2,0 cm
Spessore	2,0 cm	1,6 cm	2,6 cm
Area	33	33	33
Quadrato	O0N1	O0N1	O0N1
US/Locus	L.43	L.43	L.43
Quota	0,25 m	0,25 m	0,25 m
Fase	2	2	2
Periodo del sito	III (Fase 4-3)	III (Fase 4-3)	III (Fase 4-3)
Cronologia	2450/2400-2350/2300 a.C	2450/2400-2350/2300 a.C.	2450/2400-2350/2300 a.C.

	SIS.17.33.115	SIS.17.33.116	SIS.17.33.117 (Fig. 52)
Data	22.11.2017	22.11.2017	22.11.2017
Oggetto	due frammenti indeterminato facente verosimilmente parte di un unico utensile	due frammenti indeterminato facente verosimilmente parte di un unico utensile	panetto triangolare utilizzato come poggia pentole sul fuoco (cfr. Indo)
Materiale	bronzo	bronzo	calcere
Condizioni	fortemente frammentarie	fortemente frammentarie	frammentarie
Lunghezza	1) 0,7 cm; 2) 1,5 cm	1) 2,5 cm; 2) 1,1 cm	5,2 cm

Larghezza	2) 1,3 cm	1) 1,1 cm; 2) 0,6 cm	4,9 cm
Spessore	1) 0,7 cm; 2) 1,0 cm	1) 1,0 cm; 2) 0,4 cm	3,5 cm
Area	33	33	33
Quadrato	OOH4	OOI2	OON1
US/Locus	L.5	L.36	L.43
Quota	0,25 m	0,25 m	0,25 m
Fase	2	2	2
Periodo del sito	III (Fase 4-3)	III (Fase 4-3)	III (Fase 4-3)
Cronologia	2450/2400-2350/2300 a.C.	2450/2400-2350/2300 a.C.	2450/2400-2350/2300 a.C.

	SIS.17.33.118	SIS.17.33.119	SIS.17.33.120 (Fig. 53)
Data	22.11.2017	22.11.2017	22.11.2017
Oggetto	indeterminato	lisciatoio	figurina fittile zoomorfa
Materiale	pietra	pietra	argilla
Condizioni	frammentarie	frammentarie	frammentarie
Lunghezza	4,7 cm	3,7 cm	4,7 cm
Larghezza	2,6 cm	3,2 cm	2,6 cm
Spessore	2,1 cm	2,1 cm	2,1 cm
Area	33	33	33
Quadrato	OON1	OON1	OOI2
US/Locus	L.43	L.43	L.36
Quota	0,25 m	0,25 m	0,25 m
Fase	2	2	2
Periodo del sito	III (Fase 4-3)	III (Fase 4-3)	III (Fase 4-3)
Cronologia	2450/2400-2350/2300 a.C.	2450/2400-2350/2300 a.C.	2450/2400-2350/2300 a.C.

	SIS.17.33.121	SIS.17.33.122	SIS.17.33.123 (Fig. 54)
Data	22.11.2017	22.11.2017	23.11.2017
Oggetto	indeterminato	indeterminato	perla ovoidale
Materiale	bronzo	bronzo	turchese
Condizioni	fortemente frammentarie	polverizzato	ottime
Lunghezza	1,5 cm		3,5 cm
Larghezza	0,9 cm		0,9 cm
Spessore	0,5 cm		0,5 cm
Area	33	33	33
Quadrato	OOI2	OOH4	OOM3+OOM1
US/Locus	L.36	L.5	L.16

Quota	0,20 m	0,20 m	0,20 m
Fase	2	2	2
Periodo del sito	III (Fase 4-3)	III (Fase 4-3)	III (Fase 4-3)
Cronologia	2450/2400-2350/2300 a.C.	2450/2400-2350/2300 a.C.	2450/2400-2350/2300 a.C.

	SIS.17.33.124 (Fig. 55)	SIS.17.33.125 (Fig. 56)	SIS.17.33.126 (Fig. 57)
Data	23.11.2017	23.11.2017	23.11.2017
Oggetto	perla cilindrica	pestello	pestello
Materiale	alabastro	calcare	calcare
Condizioni	ottime	ottime con chiare tracce di percussione sulla base	ottime con chiare tracce di percussione sulla base
Lunghezza	5,5 cm	5,4 cm	7,0 cm
Larghezza	1,0 cm	4,4 cm	4,3 cm
Spessore	0,5 cm	3,2 cm	2,3 cm
Area	33	33	33
Quadrato	OOM3+OOM1	O0H4	O0H4
US/Locus	L.16	L.7	L.7
Quota	0,10 m	0,20 m	0,20 m
Fase	2	2	2
Periodo del sito	III (Fase 4-3)	III (Fase 4-3)	III (Fase 4-3)
Cronologia	2450/2400-2350/2300 a.C.	2450/2400-2350/2300 a.C.	2450/2400-2350/2300 a.C.

	SIS.17.33.127 (Fig. 58)	SIS.17.33.128	SIS.17.33.129
Data	23.11.2017	30.11.2017	30.11.2017
Oggetto	peso sfendonoide	orlo di vaso	orlo di vaso
Materiale	calcare	alabastro	alabastro
Condizioni	fortemente rasato e spezzato	frammentarie	frammentarie
Lunghezza	6,0 cm	9,4 cm	3,6 cm
Larghezza	4,4 cm	8,0 cm	3,7 cm
Spessore	2,0 cm	1,2 cm	0,8 cm
Area	33	33	33
Quadrato	OOM3+OOM1	O0I2+OONI	O0I2+OONI
US/Locus	L.16	L.36+L.43	L.36+L.43
Quota	0,20 m	superficie	superficie
Fase	2	2	2
Periodo del sito	III (Fase 4-3)	III (Fase 4-3)	III (Fase 4-3)
Cronologia	2450/2400-2350/2300 a.C.	2450/2400-2350/2300 a.C.	2450/2400-2350/2300 a.C.

	SIS.17.33.130	SIS.17.33.131	SIS.17.33.132
Data	30.11.2017	30.11.2017	30.11.2017
Oggetto	orlo di vaso	orlo di vaso	vaso
Materiale	alabastro	alabastro	alabastro
Condizioni	frammentarie	frammentarie	frammentarie
Lunghezza	3,5 cm	3,2 cm	6,3 cm
Larghezza	3,7 cm	1,6 cm	4,1 cm
Spessore	0,9 cm	0,7 cm	1,2 cm
Area	33	33	33
Quadrato	OOI2+OON1	OOI2+OON1	OOI2+OON1
US/Locus	L.36+L.43	L.36+L.43	L.36+L.43
Quota	superficie	superficie	superficie
Fase	2	2	2
Periodo del sito	III (Fase 4-3)	III (Fase 4-3)	III (Fase 4-3)
Cronologia	2450/2400-2350/2300 a.C.	2450/2400-2350/2300 a.C.	2450/2400-2350/2300 a.C.

	SIS.17.33.133	SIS.17.33.134	SIS.17.33.135
Data	30.11.2017	30.11.2017	30.11.2017
Oggetto	vaso	base di vaso	vaso
Materiale	alabastro	alabastro	alabastro
Condizioni	frammentarie	frammentarie	frammentarie
Lunghezza	4,9 cm	6,2 cm	6,3 cm
Larghezza	2,9 cm	1,9 cm	4,9 cm
Spessore	1,0 cm	1,0 cm	1,2 cm
Area	33	33	33
Quadrato	OOI2+OON1	OOI2+OON1	OOI2+OON1
US/Locus	L.36+L.43	L.36+L.43	L.36+L.43
Quota	superficie	superficie	superficie
Fase	2	2	2
Periodo del sito	III (Fase 4-3)	III (Fase 4-3)	III (Fase 4-3)
Cronologia	2450/2400-2350/2300 a.C.	2450/2400-2350/2300 a.C.	2450/2400-2350/2300 a.C.

	SIS.17.33.136	SIS.17.33.137	SIS.17.33.138
Data	30.11.2017	30.11.2017	30.11.2017
Oggetto	orlo di vaso	vaso	orlo di vaso
Materiale	alabastro	alabastro	alabastro

Condizioni	frammentarie	frammentarie	frammentarie
Lunghezza	2,5 cm	4,2 cm	5,5 cm
Larghezza	1,8 cm	3,7 cm	4,5 cm
Spessore	0,4 cm	1,5 cm	1,5 cm
Area	33	33	33
Quadrato	O0I2+OON1	O0I2+OON1	O0I2+OON1
US/Locus	L.36+L.43	L.36+L.43	L.36+L.43
Quota	superficie	superficie	superficie
Fase	2	2	2
Periodo del sito	III (Fase 4-3)	III (Fase 4-3)	III (Fase 4-3)
Cronologia	2450/2400-2350/2300 a.C.	2450/2400-2350/2300 a.C.	2450/2400-2350/2300 a.C.

	SIS.17.33.139	SIS.17.33.140	SIS.17.33.141 (Fig. 59)
Data	30.11.2017		16.11.2017
Oggetto	orlo di vaso	vaso	gettone
Materiale	alabastro	alabastro	calcare
Condizioni	frammentarie	frammentarie	buone
Lunghezza	2,7 cm	2,7 cm	3,1 cm
Larghezza	2,0 cm	1,4 cm	2,2 cm
Spessore	0,4 cm	1,2 cm	0,4 cm
Area	33	33	33
Quadrato	O0I2+OON1	OON1	
US/Locus	L.36+L.43	L.43	
Quota	superficie	0,25 m	
Fase	2	2	2
Periodo del sito	III (Fase 4-3)	III (Fase 4-3)	III (Fase 4-3)
Cronologia	2450/2400-2350/2300 a.C.	2450/2400-2350/2300 a.C.	2450/2400-2350/2300 a.C.

	SIS.17.33.142 (Fig. 60)	SIS.17.33.143 (Fig. 61)	SIS.17.33.144
Data	16.11.2017	18.11.2017	18.11.2017
Oggetto	gettone	gettone	perla
Materiale	calcare	breccia	quarzo
Condizioni	buone	buone	buone
Lunghezza	<i>Diam</i> : 1,1 cm	5,1 cm	2,1 cm
Larghezza		4,0 cm	1,8 cm
Spessore		0,5 cm	0,8 cm
Area	33	33	33

Quadrato	OOG4+OOL3	OONI	OONI
US/Locus	L.19	0,20 m	
Quota			
Fase	2	2	2
Periodo del sito	III (Fase 4-3)	III (Fase 4-3)	III (Fase 4-3)
Cronologia	2450/2400-2350/2300 a.C.	2450/2400-2350/2300 a.C.	2450/2400-2350/2300 a.C.

	SIS.17.33.145 (Fig. 62)	SIS.17.33.146	SIS.17.33.147 (Fig. 63)
Data	23.11.2017	23.11.2017	23.11.2017
Oggetto	pestello	lisciatolo	pestello
Materiale	calcare	breccia	breccia
Condizioni	ottime, tracce evidenti di percussione sulla base	buone	buone
Lunghezza	4,3 cm	3,7 cm	8,1 cm
Larghezza	3,3 cm	3,2 cm	6,9 cm
Spessore	3,1 cm	2,1 cm	1,5 cm
Area	33	33	33
Quadrato	OONI	OONI	OOL2+OONI
US/Locus		L.43	L.36+L.43
Quota			superficie
Fase	2	2	2
Periodo del sito	III (Fase 4-3)	III (Fase 4-3)	III (Fase 4-3)
Cronologia	2450/2400-2350/2300 a.C.	2450/2400-2350/2300 a.C.	2450/2400-2350/2300 a.C.

	SIS.17.33.148 (Fig. 64)	SIS.17.33.149 (Fig. 65)
Data	23.11.2017	23.11.2017
Oggetto	pestello	indeterminato
Materiale	breccia	pietra vulcanica
Condizioni	buone	frammentarie
Lunghezza	7,2 cm	3,4 cm
Larghezza	6,0 cm	3,2 cm
Spessore	4,6 cm	Altezza: 2,5 cm
Area	33	33
Quadrato	OOL2+OONI	OOL2+OONI
US/Locus	L.36+L.43	L.36+L.43
Quota	superficie	superficie
Fase	2	2

Periodo del sito	III (Fase 4-3)	III (Fase 4-3)
Cronologia	2450/2400-2350/2300 a.C	2450/2400-2350/2300 a.C.



Fig. 1: SiS.17.33.1, scarto di lavorazione di una lama di selce. SiS.17.33.2, lama in selce. SiS.17.33.3, lama in selce. SiS.17.33.4, punta di freccia (foto di M. Rahmani).



Fig. 2: SiS.17.33.5, oggetto lavorato o scarto in corniola. SiS.17.33.6, oggetto lavorato o scarto in corniola. SiS.17.33.7, oggetto lavorato o scarto in corniola. SiS.17.33.8, oggetto lavorato o scarto in corniola. SiS.17.33.9, oggetto lavorato o scarto in corniola. SiS.17.33.10, oggetto lavorato o scarto in corniola (foto di M. Rahmani).



Fig. 3: SiS.17.33.11, lama in selce (foto di M. Rahmani).



Fig. 4: SiS.17.33.12, indeterminato oggetto sferico (foto di M. Rahmani).



Fig. 5: SiS.17.33.12, nucleo in selce (foto di M. Rahmani).



Fig. 6: SiS.17.33.14, oggetto lavorato o scarto in corniola (foto di M. Rahmani).



Fig. 7: SiS.17.33.15, oggetto lavorato in lapislazzuli (foto di M. Rahmani).



Fig. 8: SiS.17.33.18, lama in selce (foto di M. Rahmani).



Fig. 9: SiS.17.33.19, scarto di selce (foto di M. Rahmani).



Fig. 10: SiS.17.33.20, lisciatoio in steatite (foto di M. Rahmani).



Fig. 11: SiS.17.33.23, peso da telaio in ceramica (foto di M. Rahmani).



Fig. 12: SiS.17.33.24, sigillo a stampo in steatite (foto di M. Rahmani).



Fig. 13: SiS.17.33.24, sigillo a stampo in steatite (Drawing by Aida Torsch).



Fig. 14: SiS.17.33.25, oggetto in calcare ovoidale piatto con tracce di lisciatura (foto di M. Rahmani).

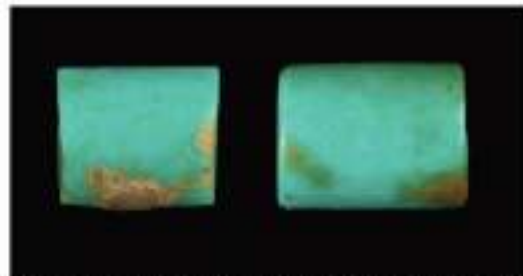


Fig. 17: SiS.17.33.30, due perle in turchese (foto di M. Rahmani).



Fig. 18: SiS.17.33.32, lama in selce (foto di M. Rahmani).



Fig. 15: SiS.17.33.27, oggetto in selce ovoidale piatto con tracce di lavorazione (foto di M. Rahmani).



Fig. 16: SiS.17.33.28, pestello in calcare (foto di M. Rahmani).



Fig. 19: SiS.17.33.34, lisicitoio in calcare (foto di M. Rahmani).



Fig. 20: SiS.17.33.36, oggetto lavorato indeterminato in quarzo (foto di M. Rahmani).



Fig. 23: SiS.17.33.40, oggetto sferico in calcare (foto di M. Rahmani).



Fig. 21: SiS.17.33.37, lisciatolo in calcare (foto di M. Rahmani).

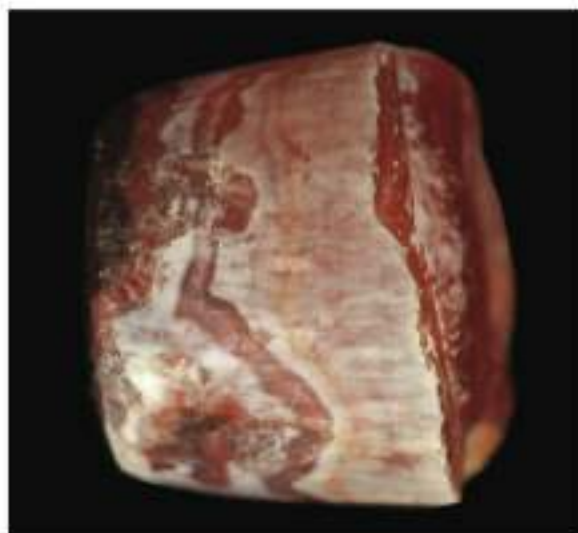


Fig. 24: SiS.17.33.41, perla cilindrica in corniola (foto di M. Rahmani).



Fig. 22: SiS.17.33.38, pestello in breccia (foto di M. Rahmani).



Fig. 25: SiS.17.33.42, peso da telaio in argilla (foto di M. Rahmani).



Fig. 26: SiS.17.33.43, scarto di lavorazione in selce (foto di M. Rahmani).



Fig. 28: SiS.17.33.48, lama in pietra (foto di M. Rahmani).



Fig. 30: SiS.17.33.50, perla cilindrica in steatite (foto di M. Rahmani).



Fig. 27: SiS.17.33.46, perla cilindrica in lapis lazuli (foto di M. Rahmani).



Fig. 29: SiS.17.33.49, scarto di lavorazione in selce (foto di M. Rahmani).



Fig. 31: SiS.17.33.56, punta di freccia in selce (foto di M. Rahmani).



Fig. 32: SiS.17.33.57, oggetto indeterminato in calcare (foto di M. Rahmani).



Fig. 33: SiS.17.33.58, peso ovoidale in pietra (foto di M. Rahmani).



Fig. 34: SiS.17.33.61, punta di freccia in selce (foto di M. Rahmani).



Fig. 35: SiS.17.33.64, peso ovoidale con base in calcare (foto di M. Rahmani).



Fig. 36: SiS.17.33.66, perla in alabastro (foto di M. Rahmani).



Fig. 37: SiS.17.33.72, lama in selce (foto di M. Rahmani).



Fig. 38: SiS.17.33.64, gettone in calcare (foto di M. Rahmani).



Fig. 39: SiS.17.33.75, gettone in steatite (foto di M. Rahmani).



Fig. 40: scoria di lavorazione (foto di M. Rahmani).



Fig. 41: SiS.17.33.83, lancia in selce (foto di M. Rahmani).



Fig. 42: SiS.17.33.84, lancia in selce (foto di M. Rahmani).



Fig. 43: SiS.17.33.85, o lancia nera finita (foto di M. Rahmani).

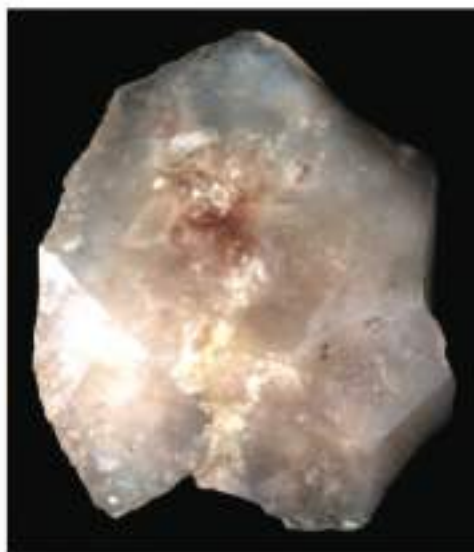


Fig. 44: SiS.17.33.87, oggetto indeterminato in quarzo (foto di M. Rahmani).



Fig. 46: SiS.17.33.92, punteruolo in bronzo (foto di M. Rahmani).



Fig. 45: SiS.17.33.90, luma in selce (foto di M. Rahmani).



Fig. 47: SiS.17.33.93, lisciatolo in pietra (foto di M. Rahmani).



Fig. 48: SiS.17.33.94, gettone sferico in calcare (foto di M. Rahmani).



Fig. 49: SiS.17.33.107, gettone in pietra (foto di M. Rahmani).



Fig. 50: SiS.17.33.111, gettone in calcare (foto di M. Rahmani).



Fig. 52: SiS.17.33.117, panetto triangolare in calcare (foto di M. Rahmani).



Fig. 51: SiS.17.33.114, lama in selce (foto di M. Rahmani).



Fig. 53: SiS.17.33.120, figurina fittile zoomorfa (foto di M. Rahmani).



Fig. 54: SiS.17.33.123, perla ovoidale in turchese (foto di M. Rahmani).



Fig. 55: SiS.17.33.124, perla cilindrica in alabastro (foto di M. Rahmani).



Fig. 56: SiS.17.33.125, pestello in calcare (foto di M. Rahmani).



Fig. 57: SiS.17.33.126, pestello in calcare (foto di M. Rahmani).



Fig. 58: SiS.17.33.127, peso sfendonoide in calcare (foto di M. Rahmani).



Fig. 59: SiS.17.33.141, gettone in calcare (foto di M. Rahmani).



Fig. 60: SiS.17.33.142, gettone in calcare (foto di M. Rahmani).



Fig. 61: SiS.17.33.143, gettone di breccia (foto di M. Rahmani).



Fig. 62: SiS.17.33.145, pestello in calcare (foto di M. Rahmani).



Fig. 63: SiS.17.33.147, pestello in breccia (foto di M. Rahmani).



Fig. 64: SiS.17.33.148, pestello in breccia (foto di M. Rahmani).



Fig. 65: SiS.17.33.149, oggetto indeterminato in pietra vulcanica (foto di M. Rahmani).